

ЭНЕРГЕТИЧЕСКИЕ СПЕКТРЫ ЛЕГКИХ ДЕФОРМИРОВАННЫХ ЯДЕР.
БЕЗМОДЕЛЬНОЕ ОПРЕДЕЛЕНИЕ ФОРМЫ ПОТЕНЦИАЛА ЯДРА
С ПОМОЩЬЮ ЭВОЛЮЦИОННОГО АЛГОРИТМА

© В.Ю.Корда¹, А.Н.Водин² и Л.П.Корда²

¹Институт электрофизики и радиационных технологий НАН Украины,
Харьков, Украина

²ННЦ "Харьковский физико-технический институт" НАН Украины,
Харьков, Украина

Мы развиваем безмодельный подход на основе эволюционного алгоритма, который позволяет извлекать информацию о форме ядра непосредственно из экспериментальных данных. В рамках подхода, эволюционный алгоритм выводит формы аксиально симметричного одночастичного потенциала в соответствии с измеренными энергетическим спектром и другими характеристиками ядра.

Спектроскопические данные для легких ядер $2s1d$ оболочки являются источником важной информации в том числе и о деформации формы поверхности ядра как в основном, так и возбужденных состояниях. К сожалению, параметры деформации ядра невозможно извлечь непосредственно из экспериментальных данных. Поэтому для получения такой информации традиционно используют различные модельные представления о форме атомного ядра и ее динамике при переходах между стационарными состояниями. Одним из наиболее популярных подходов является модель Нильссона [1], использующая аксиально симметричный осцилляторный одночастичный потенциал, потенциал спин-орбитального взаимодействия и специальный потенциал, пропорциональный квадрату орбитального момента индивидуального нуклона.

Гамильтониан, описывающий движение индивидуального нуклона в поле несферического осцилляторного остова аксиально симметричной формы, в подходе Нильссона имеет вид:

$$H = H_0 + C (\mathbf{l} \cdot \mathbf{s}) + D \mathbf{l}^2, \quad (1)$$

$$H_0 = -\frac{\hbar^2}{2m} \Delta + \frac{m}{2} [\omega_{\perp}^2 (x^2 + y^2) + \omega_z^2 z^2], \quad (2)$$

где m - масса нуклона, а частоты анизотропного осциллятора выбираются в форме:

$$\omega_{\perp} = \omega \left(1 + \frac{1}{3} \varepsilon \right), \quad \omega_z = \omega \left(1 - \frac{2}{3} \varepsilon \right), \quad (3)$$

ε - параметр деформации. Из условия не сжимаемости ядерной материи следует соотношение $\omega_{\perp}^2 \omega_z = \omega^3 = const$, поэтому:

$$\omega = \omega(\varepsilon) = \omega_0 \left(1 - \frac{1}{3} \varepsilon^2 - \frac{2}{27} \varepsilon^3 \right)^{-1/3}. \quad (4)$$

Далее гамильтониан H_0 разбивается на сферически симметричный член и часть, зависящую от деформации:

$$H_0 = \overset{\circ}{H} + H_{\varepsilon}, \quad (5)$$

$$\overset{\circ}{H} = \frac{1}{2} \hbar \omega (-\Delta + r^2), \quad (6)$$

$$H_{\varepsilon} = \kappa \hbar \omega R(\varepsilon), \quad (7)$$

где

$$R(\varepsilon) = \eta(\varepsilon)U - 2(\mathbf{l} \cdot \mathbf{s}) - \mu \mathbf{l}^2, \quad (8)$$

и введены новые обозначения для весов спин-орбитального взаимодействия, члена, пропорционального квадрату орбитального момента и нового параметра деформации:

$$\kappa = -\frac{C}{2\hbar\omega}, \quad \mu = \frac{2D}{C}, \quad (9)$$

$$\eta(\varepsilon) = \frac{\varepsilon}{\kappa} \left(1 - \frac{1}{3}\varepsilon^2 - \frac{2}{27}\varepsilon^3 \right)^{-1/3}. \quad (10)$$

Форма ядра отражена в операторе:

$$U = -\frac{4}{3} \sqrt{\frac{\pi}{5}} r^2 Y_{20}. \quad (11)$$

Решение задачи осуществляется в представлении функций сферически симметричного осциллятора, в котором выполняется численная диагонализация матрицы $R(\varepsilon)$. Соответствующее собственное значение энергии, определяемое главным квантовым числом N и проекцией полного момента ядра на его ось симметрии Ω , имеет вид:

$$E_{N\Omega} = \left(N + \frac{3}{2} \right) \hbar\omega \left(1 - \frac{1}{3}\varepsilon^2 - \frac{2}{27}\varepsilon^3 \right)^{-1/3} + \kappa \hbar\omega r_{N\Omega}. \quad (12)$$

Полная энергия ядра, состоящего из A нуклонов, есть сумма по всем занятым одночастичным орбиталям в заданном потенциале:

$$E = \frac{3}{4} \sum_{N\Omega} E_{N\Omega}. \quad (13)$$

Величины параметров, определяющих значения уровней энергии нуклонов, обычно выбирают следующими: $\hbar\omega \approx 41A^{-1/3}$, $\kappa = 0,05$, $\mu = 0(N = 0,1,2)$, $\mu = 0,35(N = 3)$.

Для того чтобы проанализировать способность модели Нильссона описывать спектры энергий и квантовые характеристики основных и одночастичных возбужденных состояний легких ядер, мы изучили несколько первых одночастичных уровней ядра ^{25}Al . Результаты расчетов приведены в таблице 1 ($\varepsilon = \delta + \delta^2/6$). Обращает на себя внимание то, что как набор параметров, выбранный в работе Нильссона [1], так и набор параметров, полученный их оптимизацией, не позволяет описать квантовые характеристики измеренных уровней. Далее мы модифицировали формулу (8):

$$R(\varepsilon) = \eta(\varepsilon) \gamma U - 2(\mathbf{1} \cdot \mathbf{s}), \quad (14)$$

где параметр γ призван регулировать вклад от деформированной части гамильтониана в энергетический спектр. В таблице 2 приведены результаты расчетов для того же ядра. Видим, что согласие с экспериментом наблюдается не только для квантовых чисел, но и для величин энергии. Заметим при этом, что вес вклада от деформации сократился на 20%.

Для более глубокого анализа данного вопроса мы развиваем безмодельный подход на основе эволюционного алгоритма [2], который позволяет извлекать информацию о форме ядра непосредственно из экспериментальных данных без каких-либо модельных представлений. В рамках нашего подхода, эволюционный алгоритм генерирует различные формы аксиально симметричного одно-

частичного потенциала (заданные численным образом), рассчитывает энергетические спектры ядер, их квантовые характеристики, вероятности электромагнитных переходов между уровнями и т. д., и отбирает те потенциалы, которые наиболее успешно воспроизводят экспериментальные данные.

Рассмотрим одномерное нерелятивистское уравнение Шредингера:

$$\psi''(x) + 2[E - V(x)]\psi(x) = 0, \quad (15)$$

где для простоты положено $m = 1$ и $\hbar = 1$. Для осцилляторного потенциала

$$V(x) = \frac{1}{2}x^2, \quad (16)$$

энергетический спектр имеет вид:

$$E = \left(n + \frac{1}{2} \right), \quad n = 0, 1, 2, \dots \quad (17)$$

Наша задача заключается в том, чтобы по заданному энергетическому спектру (17) восстановить потенциал (16). На рисунке 1 показаны потенциалы, извлеченные из спектра (17) для $n = 0, 1, 2, \dots, 9$ с помощью нескольких независимых исполнений нашего алгоритма.

Видим, что в области энергий, где известен спектр гамильтониана задачи, алгоритм с хорошей точностью воспроизводит форму осцилляторного потенциала (16). В то же время, в остальной области алгоритм оказывается не в состоянии делать разумный прогноз. Для уточнения формы потенциала в этой области необходимо учесть дополнительные данные, связанные с деталями поведения волновых функций (например, вероятности переходов между уровнями).

СПИСОК ЛИТЕРАТУРЫ

1. *Nilsson S.G.* //Kgl. Danske Videnskab. Selkab. Mat.-fys. Medd. 1955. V. 26. No. 16.
2. *Korda V.Yu., Molev A.S., Korda L.P.* // Phys. Rev. C. 2005. V. 72. 014611.

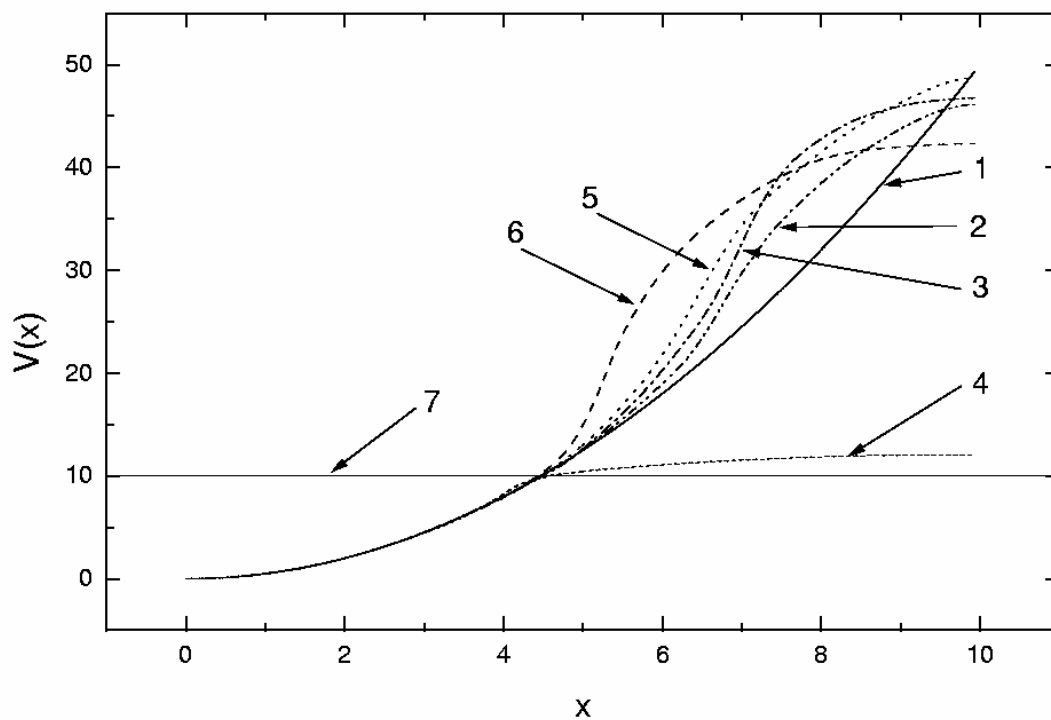


Рис. 1. Потенциалы, извлекаемые из спектра одномерного гармонического осциллятора. Кривая 1 – осцилляторный потенциал, кривые 2–6 – потенциалы, рассчитанные с помощью пяти независимых исполнений эволюционного алгоритма для заданного энергетического спектра, ограниченного сверху (линия 7).

Таблица 1. Низколежащие уровни ядра ^{25}Al и результаты их анализа в модели Нильссона ($\varepsilon = \delta + \delta^2/6$).

$E_{\text{эксн}}(\Omega^P)$ МэВ	$E_{\text{теор}}(\Omega^P)$ МэВ (κ, μ) \rightarrow Нильссон	δ	$E_{\text{теор}}(\Omega^P)$ МэВ (κ, μ) \rightarrow свободные	δ
0,000 ($5/2^+$)	0,000 ($1/2^+$)	0,35	0,000 ($3/2^-$)	0,40
0,451 ($1/2^+$)	1,020 ($1/2^-$)	0,40	0,390 ($5/2^-$)	0,40
2,485 ($1/2^+$)	2,307 ($5/2^+$)	0,35	2,485 ($5/2^+$)	0,40
4,196 ($3/2^+$)	3,444 ($1/2^+$)	0,30	4,366 ($7/2^-$)	0,40

Таблица 2. То же, что и в табл. 1, но для расчетов в модели Нильссона с варьируемым весом вклада от деформации.

$E_{эксп}(\Omega^P)$ МэВ	$E_{теор}(\Omega^P)$ МэВ (κ, μ) \rightarrow свободные	δ	$\kappa = 0,08$ $\gamma = 0,8$
0,000 ($5/2^+$)	0,000 ($5/2^+$)	0,20	
0,451 ($1/2^+$)	0,451 ($1/2^+$)	0,25	
2,485 ($1/2^+$)	2,796 ($1/2^+$)	0,25	
4,196 ($3/2^+$)	4,196 ($3/2^+$)	0,20	